

Évaluation des mousses \mathfrak{sl}_N

Louis-Hadrien Robert

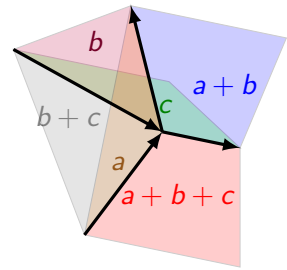
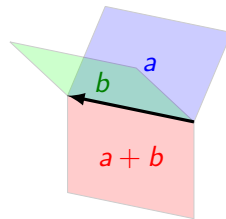


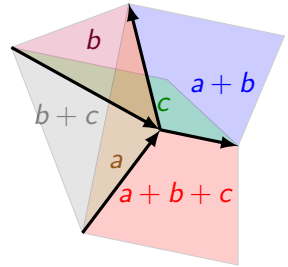
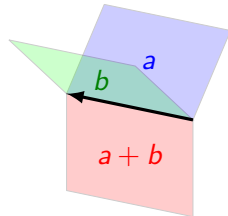
Universität Hamburg
DER FORSCHUNG | DER LEHRE | DER BILDUNG

Emmanuel Wagner



Dijon – 14/03/2017
Grenoble – 17/03/2017





Définition (R.-Wagner, '17)

$$\langle F \rangle_N = \sum_c \frac{(-1)^{\sum_{1 \leq i < j \leq N} \theta_{ij}^+(F, c)} \prod_f P_f(c(f))}{(-1)^{\sum_{i=1}^N i \chi(F_i(c))/2} \prod_{1 \leq i < j \leq N} (X_i - X_j)^{\frac{\chi(F_{ij}(c))}{2}}}$$

Définition (crochet de Kauffman, polynôme de Jones)

$$\langle \emptyset \rangle_K = 1 \quad \langle \bigcirc \sqcup L \rangle_K = [2]_q \langle L \rangle$$

$$\langle \diagup \diagdown \rangle_K = \langle \text{brace} \rangle_K - q \langle \rangle_K$$

$$J(L) = (-1)^{n_-} q^{n_+ - 2n_-} \langle D \rangle_K$$

Définition (crochet de Kauffman, polynôme de Jones)

$$\langle \emptyset \rangle_K = 1 \quad \langle \bigcirc \sqcup L \rangle_K = [2]_q \langle L \rangle$$

$$\langle \times \times \rangle_K = \langle \{\} \rangle_K - q \langle \rangle \langle \rangle_K$$

$$J(L) = (-1)^{n_-} q^{n_+ - 2n_-} \langle D \rangle_K$$

$$\begin{aligned} \langle \text{double loop} \rangle_K &= \langle \text{double loop with hole} \rangle_K - q \langle \text{double loop with hole} \rangle_K \\ &\quad - q \langle \text{single loop} \rangle_K + q^2 \langle \text{single loop} \rangle_K \end{aligned}$$

Définition (crochet de Kauffman, polynôme de Jones)

$$\langle \emptyset \rangle_K = 1 \quad \langle \bigcirc \sqcup L \rangle_K = [2]_q \langle L \rangle$$

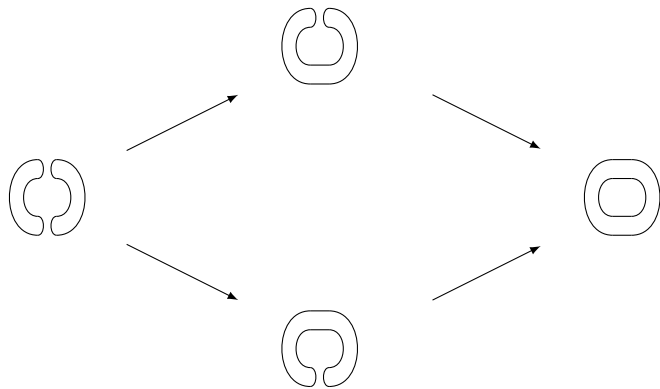
$$\langle \times \times \rangle_K = \langle \{\} \rangle_K - q \langle \rangle \langle \rangle_K$$

$$J(L) = (-1)^{n_-} q^{n_+ - 2n_-} \langle D \rangle_K$$

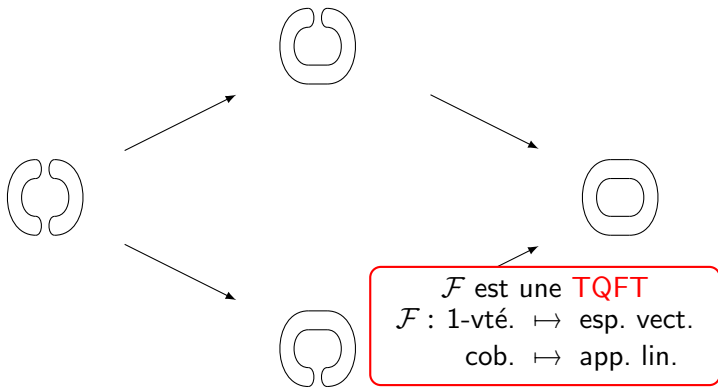
$$\begin{aligned} \langle \text{double loop} \rangle_K &= \langle \text{double loop with hole} \rangle_K - q \langle \text{single loop} \rangle_K \\ &\quad - q \langle \text{single loop} \rangle_K + q^2 \langle \text{double loop} \rangle_K \end{aligned}$$

$$J\left(\text{double loop}\right) = q^6 + q^4 + q^2 + 1$$

Homologie de Khovanov



Homologie de Khovanov



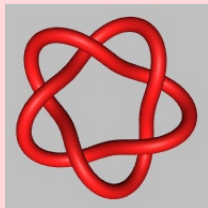
Homologie de Khovanov

$$\begin{array}{ccc} & \mathcal{F}\left(\text{---}\right)\{+1\} & \\ \mathcal{F}(\text{selle}) \searrow & \oplus & \swarrow \mathcal{F}(\text{selle}) \\ \mathcal{F}\left(\text{---}\right) & & \mathcal{F}\left(\text{---}\right)\{+2\} \\ \searrow \mathcal{F}(\text{selle}) & & \swarrow \mathcal{F}(\text{selle}) \\ & \mathcal{F}\left(\text{---}\right)\{+1\} & \end{array}$$

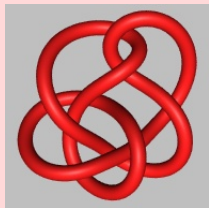
Décaler le degré homologique par $-n_-$, le q -degré par $n_+ - 2n_-$.
Prendre l'homologie.

Proposition (Bar-Natan, '02)

L'homologie est strictement plus puissante que le polynôme de Jones.



5_1

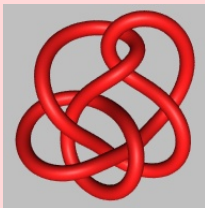
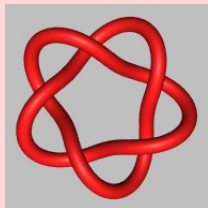


10_{132}

(source www.colab.sfu.ca/KnotPlot/KnotServer/)

Proposition (Bar-Natan, '02)

L'homologie est strictement plus puissante que le polynôme de Jones.



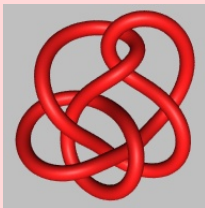
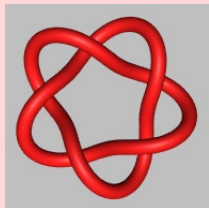
(source www.colab.sfu.ca/KnotPlot/KnotServer/)

Théorème (Kronheimer–Mrowka, '10)

L'homologie de Khovanov détecte le nœud trivial.

Proposition (Bar-Natan, '02)

L'homologie est strictement plus puissante que le polynôme de Jones.



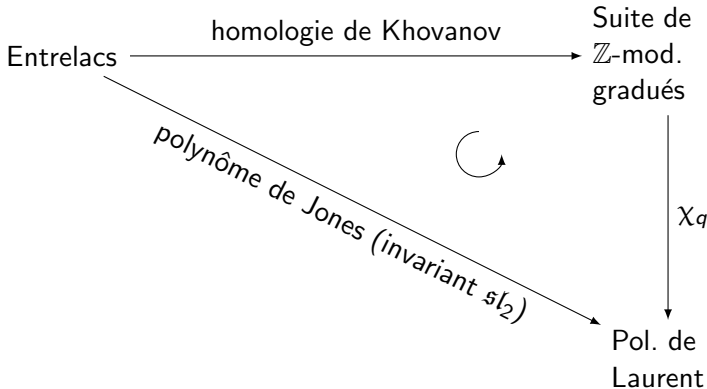
(source www.colab.sfu.ca/KnotPlot/KnotServer/)

Théorème (Kronheimer–Mrowka, '10)

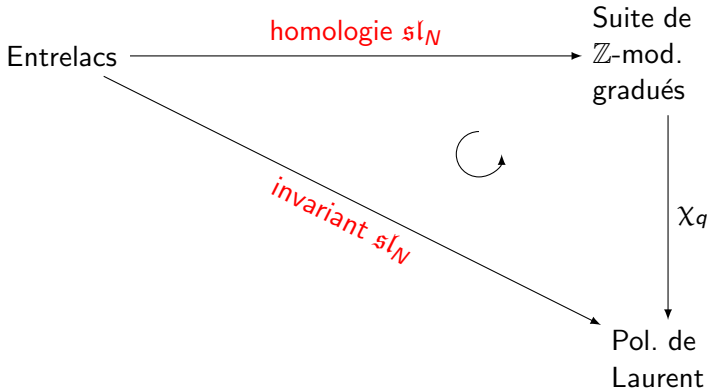
L'homologie de Khovanov détecte le nœud trivial.

Conj. de Milnor (Kronheimer–Mrowka, '93, Rasmussen '04)

Le genre slice du nœud torique (p, q) est $\frac{(p-1)(q-1)}{2}$.



- ▶ Une stratégie pour les croisements
- ▶ Une TQFT ad-hoc



- ▶ Une stratégie pour les croisements \rightsquigarrow complexes de Rickard
- ▶ Une TQFT ad-hoc \rightsquigarrow évaluation des mousses

L'invariant \mathfrak{sl}_N

Proposition (Drinfel'd)

On peut déformer $U(\mathfrak{sl}_N)$ en une algèbre de Hopf $U_q(\mathfrak{sl}_N)$ sur $\mathbb{C}(q)$ de manière à rendre le tressage *non trivial*.

$k \uparrow$ $\ell \downarrow$	$\text{id}_{\wedge_q^k V}, \text{id}_{(\wedge_q^\ell V)^*}$
D_1 $\boxed{D_2}$	$f_1 \circ f_2$
D_1 D_2	$f_1 \otimes f_2$
$k \nearrow$ $\ell \nearrow$ $k \nearrow$ $\ell \nearrow$	tressage

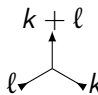
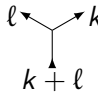
$k \curvearrowright$ $k \curvearrowleft$	évaluation
$k \curvearrowleft$ $k \curvearrowright$	co-évaluation

L'invariant \mathfrak{sl}_N

Proposition (Drinfel'd)

On peut déformer $U(\mathfrak{sl}_N)$ en une algèbre de Hopf $U_q(\mathfrak{sl}_N)$ sur $\mathbb{C}(q)$ de manière à rendre le tressage *non trivial*.

$k \uparrow \quad \ell \downarrow$	$\text{id}_{\wedge_q^k V}, \text{id}_{(\wedge_q^\ell V)^*}$
D_1 $\boxed{D_2}$	$f_1 \circ f_2$
D_1 D_2	$f_1 \otimes f_2$
$k \leftarrow \ell \rightarrow$ $k \leftarrow \ell \rightarrow$	tressage

$k \curvearrowright \curvearrowleft k$	évaluation
$\curvearrowleft k \curvearrowup \curvearrowup k \curvearrowright$	co-évaluation
$k + \ell$ 	$\wedge_q^k V \otimes \wedge_q^\ell V$ $\longrightarrow \wedge_q^{k+\ell} V$
$\ell \leftarrow \rightarrow k$ 	$\wedge_q^{k+\ell} V \longrightarrow$ $\wedge_q^k V \otimes \wedge_q^\ell V$

Calcul MOY (Murakami–Ohtsuki–Yamada)

Lusztig ('94) :

$$\left\langle \begin{array}{c} m \\ \diagup \quad \diagdown \\ n \end{array} \right\rangle = \sum_{k=\max(0,m-n)}^m (-1)^{m-k} q^{k-m} \left\langle \begin{array}{c} m & & n \\ & n+k & \\ & \nearrow & \searrow \\ & k & \\ n & & m \end{array} \right\rangle$$

$$\left\langle \begin{array}{c} m \\ \diagup \quad \diagdown \\ n \end{array} \right\rangle = \sum_{k=\max(0,m-n)}^m (-1)^{m-k} q^{m-k} \left\langle \begin{array}{c} m & & n \\ & n+k-m & \\ & \nearrow & \searrow \\ & k & \\ n & & m \end{array} \right\rangle$$

$$\left\langle \begin{array}{c} \text{circle} \\ \nearrow k \end{array} \right\rangle = \begin{bmatrix} N \\ k \end{bmatrix}_q$$

$$\left\langle \begin{array}{c} m \\ m+n \\ \nearrow n \\ m \end{array} \right\rangle = \begin{bmatrix} N-m \\ n \end{bmatrix}_q \left\langle \begin{array}{c} m \\ m \end{array} \right\rangle$$

$$\left\langle \begin{array}{c} i & j & k \\ \swarrow & \nearrow & \nearrow \\ j+k & & \\ \downarrow & & \\ i+j+k & & \end{array} \right\rangle = \left\langle \begin{array}{c} i & j & k \\ \swarrow & \nearrow & \nearrow \\ i+j & j+k & \\ \downarrow & & \\ i+j+k & & \end{array} \right\rangle$$

$$\left\langle \begin{array}{c} m+n \\ m \\ \nearrow n \\ m+n \end{array} \right\rangle = \begin{bmatrix} m+n \\ m \end{bmatrix}_q \left\langle \begin{array}{c} m+n \\ m+n \end{array} \right\rangle$$

$$\left\langle \begin{array}{ccccc} 1 & & m \\ & \nearrow & \downarrow & \nearrow \\ m & & m+1 & & 1 \\ & \downarrow & & \downarrow & \\ & m+1 & & 1 & \\ & \downarrow & & \downarrow & \\ 1 & & m & & \end{array} \right\rangle = \left\langle \begin{array}{c} 1 \\ \uparrow \\ m \end{array} \right\rangle + [N-m-1]_q \left\langle \begin{array}{c} 1 & m \\ \swarrow & \nearrow \\ m-1 & & \\ \downarrow & & \\ 1 & m \end{array} \right\rangle$$

$$\left\langle \begin{array}{ccccc} m & & n+l \\ & \nearrow & \downarrow & \nearrow \\ n+k & & m+l-k \\ & \downarrow & & \downarrow \\ n & & m+l \end{array} \right\rangle = \sum_{j=\max(0,m-n)}^m \begin{bmatrix} l \\ k-j \end{bmatrix}_q \left\langle \begin{array}{ccccc} m & & n+l \\ & \nearrow & \downarrow & \nearrow \\ m-j & & n+l+j \\ & \downarrow & & \downarrow \\ n+j-m & & m+l \end{array} \right\rangle$$

On veut : $\left\{ \begin{array}{lll} \mathcal{F}: & \text{Foam}_N & \longrightarrow \mathbb{Z}[X_1, \dots, X_N] - \text{mod}_{\text{gr}} \\ & \text{graphe MOY} & \longmapsto \text{module gradué} \\ & \text{mousse} & \longmapsto \text{morphisme de module} \end{array} \right.$

On veut : $\left\{ \begin{array}{lll} \mathcal{F}: & \text{Foam}_N & \longrightarrow \mathbb{Z}[X_1, \dots, X_N] - \text{mod}_{\text{gr}} \\ & \text{graphe MOY} & \longmapsto \text{module gradué} \\ & \text{mousse} & \longmapsto \text{morphisme de module} \end{array} \right.$

Construction universelle

Une évaluation \rightsquigarrow (Parfois) une TQFT

On veut : $\left\{ \begin{array}{lll} \mathcal{F}: & \text{Foam}_N & \longrightarrow \mathbb{Z}[X_1, \dots, X_N] - \text{mod}_{\text{gr}} \\ & \text{graphe MOY} & \longmapsto \text{module gradué} \\ & \text{mousse} & \longmapsto \text{morphisme de module} \end{array} \right.$

Construction universelle

Une évaluation \leadsto (Parfois) une TQFT

Théorème (R.-Wagner, '17)

L'évaluation définie sur le premier slide induit une TQFT ad-hoc grâce à la Construction universelle.

Construction universelle

(Blanchet, Habegger, Masbaum, Vogel)

Donné $\tau : \{\text{cobordismes fermés } \emptyset \rightarrow \emptyset\} \longrightarrow R$

$$\Gamma \longmapsto \mathcal{F}(\Gamma) := \bigoplus_{\emptyset F_\Gamma} R_F$$

$$_{\Gamma_1}G_{\Gamma_2} \longmapsto \mathcal{F}(G) : \begin{pmatrix} \mathcal{F}(\Gamma_1) & \xrightarrow{\quad} & \mathcal{F}(\Gamma_2) \\ \emptyset F_{\Gamma_1} & \mapsto & \emptyset FG_{\Gamma_2} \end{pmatrix}$$

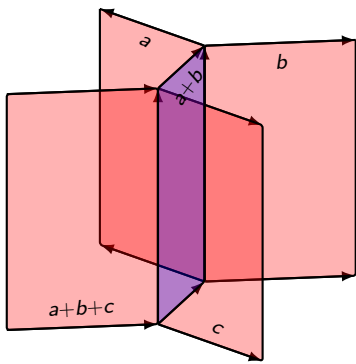
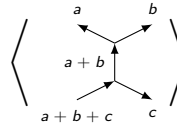
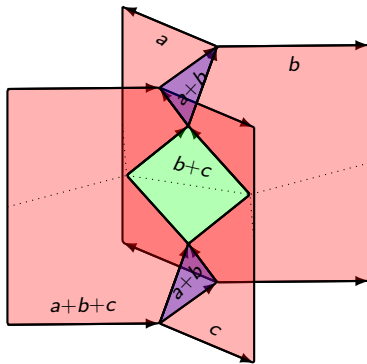
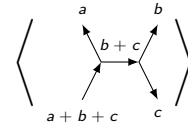
Construction universelle

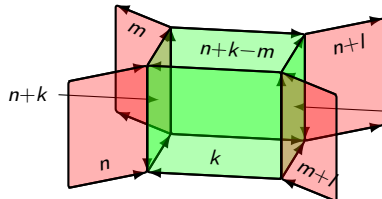
(Blanchet, Habegger, Masbaum, Vogel)

Donné $\tau : \{\text{cobordismes fermés } \emptyset \rightarrow \emptyset\} \longrightarrow R$

$$\Gamma \longmapsto \mathcal{F}(\Gamma) := \bigoplus_{\emptyset F_\Gamma} R_F \quad \left/ \begin{array}{l} \sum_i \lambda_i F_i = 0 \text{ si} \\ \sum_i \lambda_i \tau(F_i G) = 0 \text{ pour tout } {}_\Gamma G_\emptyset \end{array} \right.$$

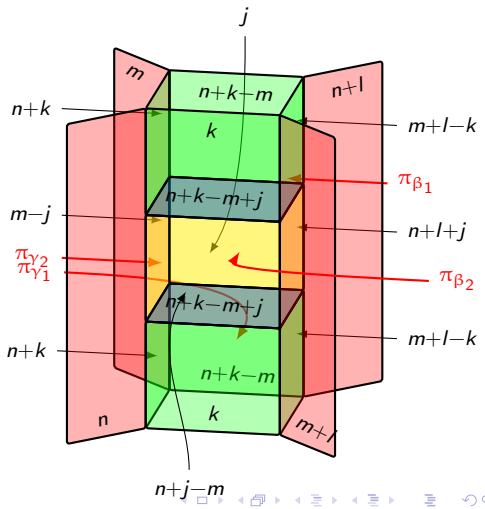
$$[\Gamma_1 G_{\Gamma_2}] \longmapsto \mathcal{F}(G) : \begin{pmatrix} \mathcal{F}(\Gamma_1) & \rightarrow & \mathcal{F}(\Gamma_2) \\ [\emptyset F_{\Gamma_1}] & \mapsto & [\emptyset FG_{\Gamma_2}] \end{pmatrix}$$


 $=$

 $=$




$$m+l-k = \sum_{j=\max(0, m-n)}^m \sum_{\alpha \in T(k-j, l-k+j)}$$

$$(-1)^{|\alpha| + (l-k+j)(m-j)} \sum_{\substack{\beta_1, \beta_2 \\ \gamma_1, \gamma_2}} c_{\beta_1 \beta_2}^\alpha c_{\gamma_1 \gamma_2}^{\hat{\alpha}}$$



A_1	$A_1 \cap A_2$	$A_2 \cap A_3$	$B_1 \cap B_2$	$B_2 \cap B_3$	C'	L	R	X	A_1	A_2	A_3	$B_1 \cap B_2$	$B_2 \cap B_3$	$B_3 \cap B_1$	C'	L	R	X
$A_1 \cap A_2$	\square	\square	\square	\square	\square	\square	\square	\square	A_1	\square	\square	\square	\square	\square	\square	\square	\square	\square
$B_1 \cap B_2$	\square	\square	\square	\square	\square	\square	\square	\square	B_1	\square	\square	\square	\square	\square	\square	\square	\square	\square
$B_2 \cap B_3$	\square	\square	\square	\square	\square	\square	\square	\square	B_2	\square	\square	\square	\square	\square	\square	\square	\square	\square
C'	\square	\square	\square	\square	\square	\square	\square	\square	C'	\square	\square	\square	\square	\square	\square	\square	\square	\square
L	\square	\square	\square	\square	\square	\square	\square	\square	L	\square	\square	\square	\square	\square	\square	\square	\square	\square
R	\square	\square	\square	\square	\square	\square	\square	\square	R	\square	\square	\square	\square	\square	\square	\square	\square	\square
X	\square	\square	\square	\square	\square	\square	\square	\square	X	\square	\square	\square	\square	\square	\square	\square	\square	\square

Proposition

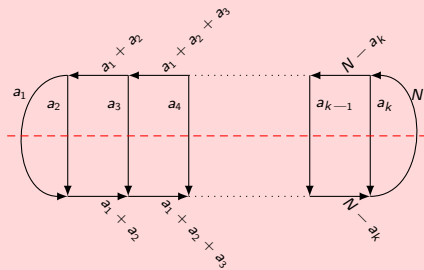
Le module associé par une TQFT à un graphe MOY symétrique a une structure d'algèbre de Frobenius.

Proposition

Le module associé par une TQFT à un graphe MOY symétrique a une structure d'algèbre de Frobenius.

Proposition (R.-Wagner, '17)

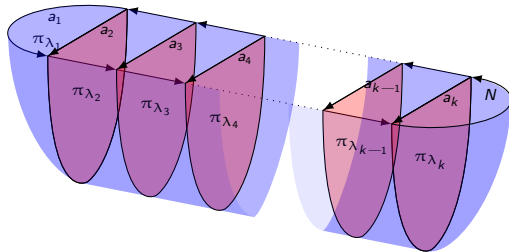
L'algèbre de Frobenius associée à



est isomorphe à l'anneau de cohomologie T -équivariante de

$$\text{Flag}(\mathbb{C}^{a_1} \subset \mathbb{C}^{a_1+a_2} \subset \cdots \subset \mathbb{C}^{a_1+\cdots+a_{k-1}} \subset \mathbb{C}^N).$$

$$\prod_{i=1}^k \pi_{\lambda_i}(X_{a_i+1}, \dots, X_{a_{i+1}}) \mapsto$$



Corollaire (R.-Wagner, '17)

Les coefficients de Littlewood–Richardson peuvent se calculer de la manière suivante :

$$c_{\alpha\beta}^{\lambda} = (-1)^{|\widehat{\lambda}| + N(N+1)/2} \left\langle \begin{array}{c} \text{Diagram of a sphere divided into regions labeled } a, b, N, \text{ with areas } \pi_{\widehat{\lambda}}, \pi_{\alpha}, \pi_{\beta} \\ \text{and a central point } X \end{array} \right\rangle_N$$
$$= (-1)^{N(N+1)/2 + |\widehat{\lambda}|} \sum_{\substack{A \sqcup B = \{X_1, \dots, X_N\} \\ |A|=a, |B|=b}} (-1)^{|B| - |A|} \frac{a_{\alpha}(A) a_{\beta}(A) a_{\widehat{\lambda}}(B)}{\Delta(X_1, \dots, X_N)}.$$

Merci !